

© 2021 г. А.А. ПЕРЕГУДИН (peregudin@itmo.ru)  
(Национальный исследовательский университет ИТМО;  
Институт проблем машиноведения РАН, Санкт-Петербург)

## МЕТОД ПРИТЯГИВАЮЩИХ ЦИЛИНДРОВ. РЕШЕНИЕ ОБЩЕЙ ЛИНЕЙНОЙ ЗАДАЧИ СЛЕЖЕНИЯ<sup>1</sup>

Представлен метод притягивающих цилиндров — обобщение метода инвариантных эллипсоидов на случаи задач слежения и наблюдения. На основе разработанного метода предложен алгоритм расчета параметров регулятора, обеспечивающего ограниченность ошибки слежения или наблюдения в присутствии ограниченных внешних возмущений. Эффективность предложенного подхода продемонстрирована на примерах.

*Ключевые слова:* задача слежения, задача наблюдения, подавление возмущений.

DOI: 10.31857/S0005231021020033

### 1. Введение

Задача подавления ограниченных внешних возмущений на основе метода инвариантных эллипсоидов ранее рассматривалась в [1–3]. В частности, в [1] решалась задача стабилизации возмущенной системы с измеряемым состоянием с помощью статического регулятора; в [2] аналогичный подход применялся для стабилизации возмущенной системы с измеряемым выходом — к статическому регулятору был добавлен динамический наблюдатель Люенбергера; в [3] аналогичная задача была решена с помощью динамического регулятора общего вида. Однако во всех этих работах решалась только задача стабилизации объекта, но не задача слежения.

Распространению метода инвариантных эллипсоидов на задачу слежения посвящены работы [4, 5], в которых на систему наложен ряд дополнительных условий. Так, в [4] предполагается, что все компоненты задающего воздействия измеряемы и могут быть использованы регулятором, а в [5] дополнительно предполагается, что их производные также измеряемы и ограничены. Отметим, что в обеих работах состояние объекта является измеряемым, а используемый регулятор — статическим. В этом смысле работы [4, 5] обобщают [1], но не более поздние [2, 3], в которых уже используется динамический регулятор при неизмеряемом состоянии объекта.

Целью настоящей работы является обобщение метода инвариантных эллипсоидов на случай задачи слежения при использовании динамического регулятора по выходу. В качестве инструмента используется новый метод, ос-

---

<sup>1</sup> Результаты разделов 3 и 4 получены при поддержке гранта Российского научного фонда (проект № 18-79-10104) в ИПМаш РАН. Результаты разделов 5 и 6 получены при поддержке гранта Президента Российской Федерации (грант № МД-1054.2020.8).

нованный на притягивающих множествах более общего вида, в том числе неограниченных по части переменных.

В работе использованы следующие обозначения:  $S^n = \{A \in \mathbb{R}^{n \times n} \mid A^T = A\}$ , если  $A \in \mathbb{R}^{m \times n}$ , то  $\text{range} A = \{Ax \in \mathbb{R}^m \mid x \in \mathbb{R}^n\}$ ,  $\text{ker} A = \{x \in \mathbb{R}^n \mid Ax = 0\}$ ,  $A^+$  — псевдообратная Мура–Пенроуза (существует у любой матрицы вне зависимости от полноты ранга).

## 2. Мотивирующий пример

В качестве мотивирующего примера рассмотрим неустойчивую систему, состоящую из объекта первого порядка и наблюдателя первого порядка, заданную как

$$(1) \quad \begin{cases} \dot{x}(t) = ax(t) + bf(t), \\ \dot{\hat{x}}(t) = (a-l)\hat{x}(t) + lx(t), \end{cases}$$

где  $x(t) \in \mathbb{R}$  — состояние объекта,  $\hat{x}(t) \in \mathbb{R}$  — состояние наблюдателя,  $f(t) \in \mathbb{R}$  — внешнее возмущение,  $|f(t)| \leq 1$ ,  $b > 0$  и  $l > a > 0$ . В качестве выходной переменной объединенной системы (1) рассмотрим ошибку наблюдения

$$y(t) = x(t) - \hat{x}(t).$$

Представленная система неустойчива и не имеет притягивающего эллипсоида по состоянию. Однако в силу того, что выход  $y(t)$  имеет устойчивую динамику

$$\dot{y}(t) = (a-l)y(t) + bf(t),$$

у системы существуют притягивающие эллипсоиды по выходу. Минимальный притягивающий эллипсоид по выходу (в данном случае — отрезок минимальной длины) может быть найден аналитически как

$$(2) \quad \left\{ y \in \mathbb{R} \mid y^2 \leq \frac{b^2}{(a-l)^2} \right\},$$

однако в пространстве состояний ему соответствует *неограниченное* множество

$$(3) \quad \left\{ (x, \hat{x}) \in \mathbb{R}^2 \mid |x - \hat{x}| \leq \frac{b}{l-a} \right\},$$

не являющееся эллипсоидом. Метод инвариантных эллипсоидов [1] не может быть непосредственно применен для поиска притягивающего множества (2), потому как у системы (1) не существует инвариантного эллипсоида по состоянию. Существует, однако, притягивающее подмножество пространства состояний системы в форме полосы (3). Траектория попадает в эту полосу и затем движется в ней, неограниченно удаляясь от начала координат. Рисунок 1 иллюстрирует описанную ситуацию.

Данный пример показывает, что для решения задачи слежения или наблюдения в общем случае недостаточно метода инвариантных (притягивающих) эллипсоидов, разработанного в [1–3] для решения задач стабилизации. Для обобщения существующего метода на случаи, подобные представленному выше, в настоящей работе развивается *метод притягивающих цилиндров*.

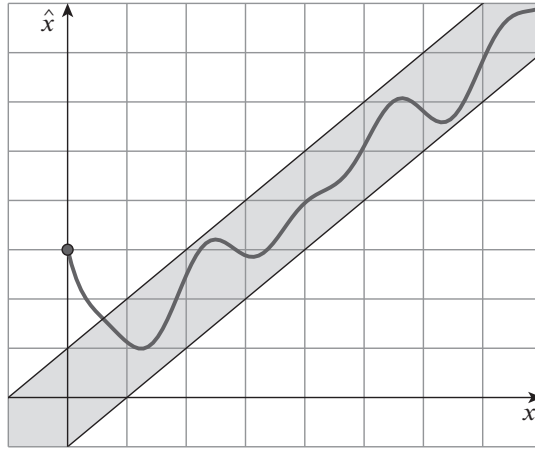


Рис. 1. Пример траектории системы. Серым цветом выделено неограниченное притягивающее подмножество пространства состояний.

### 3. Геометрические основы метода притягивающих цилиндров

Для описания рассматриваемых в настоящей работе притягивающих подмножеств введем следующее определение.

*Определение 1.* Подмножество пространства  $\mathbb{R}^n$ , заданное как

$$(4) \quad \{x \in \mathbb{R}^n \mid x^T Q x \leq 1\},$$

где  $Q \in \mathbb{S}^n$ ,  $Q \succeq 0$  и  $\text{rank} Q = k$ , называется  $(k, n)$ -цилиндром.

Примеры  $(k, n)$ -цилиндров приведены на рис. 2–4. Им соответствуют множества  $\{(x, y) \in \mathbb{R}^2 \mid x^2 \leq 1\}$ ,  $\{(x, y, z) \in \mathbb{R}^3 \mid x^2 + (y - z)^2 \leq 1\}$ ,  $\{(x, y, z) \in \mathbb{R}^3 \mid z^2 \leq 1\}$ , каждое из которых можно задать в виде (4), выбрав соответствующую матрицу  $Q$ .

*Замечание 1.* Отметим, что при  $k = n$  множество (4) является эллипсоидом и что в [1–3] авторами рассматривались притягивающие подмноже-



Рис. 2.

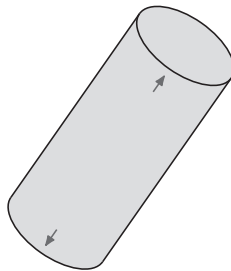


Рис. 3.



Рис. 4.

Рис. 2. Бесконечная полоса – пример  $(1, 2)$ -цилиндра.

Рис. 3. Бесконечный цилиндр – пример  $(2, 3)$ -цилиндра.

Рис. 4. Слой пространства между двумя плоскостями – пример  $(1, 3)$ -цилиндра.

ства именно такого вида. При  $k < n$  множество (4) эллипсоидом уже не является, но при этом также может являться притягивающим подмножеством пространства состояний некоторой системы. В этом смысле метод притягивающих цилиндров является обобщением метода инвариантных (притягивающих) эллипсоидов.

Сформулируем геометрическое описание  $(k, n)$ -цилиндров.

*Утверждение 1. Как множество в линейном пространстве  $(k, n)$ -цилиндр (4) является суммой  $k$ -мерного эллипсоида, лежащего в подпространстве  $\text{range}Q$ , и всего подпространства  $\ker Q$ .*

*Следствие 1. Как топологическое пространство  $(k, n)$ -цилиндр гомеоморфен прямому произведению замкнутого  $k$ -мерного шара и  $\mathbb{R}^{n-k}$ .*

Доказательства утверждения 1 и следствия 1 приведены в Приложении.

Известно, что образом эллипсоида при линейном отображении является эллипсоид. Обобщим это утверждение на случай  $(k, n)$ -цилиндров.

*Утверждение 2. Пусть  $C \in \mathbb{R}^{m \times n}$ ,  $\text{rank}C = m$ . Образом  $(k, n)$ -цилиндра (4) при отображении  $y = Cx$  является  $(r, m)$ -цилиндр*

$$\left\{ y \in \mathbb{R}^m \mid y^T R y \leq 1 \right\}, \quad R = C^{+T} M (I - (MN)(MN)^+) M C^+,$$

где  $r = \text{rank}R$ ,  $M = Q^{1/2}$ ,  $N = I - C^+C$ .

*Следствие 2. При  $n \geq 2$  проекцией  $(k, n)$ -цилиндра на произвольную плоскость является либо вся плоскость, либо полоса (часть плоскости между двумя параллельными прямыми), либо эллипс (часть плоскости, ограниченная эллипсом).*

Доказательства утверждения 2 и следствия 2 приведены в Приложении.

Изложенные выше утверждения дают читателю базовые представления о геометрии рассматриваемых в настоящей работе притягивающих подмножеств.

#### 4. Анализ. Метод притягивающих цилиндров

Рассмотрим линейную динамическую систему

$$(5) \quad \dot{x}(t) = Ax(t) + Bf(t),$$

где  $x(t) \in \mathbb{R}^n$  – вектор состояния,  $f(t) \in \mathbb{R}^m$  – внешнее возмущение,  $A, B$  – вещественные матрицы соответствующих размерностей. Предполагается, что внешнее возмущение ограничено и что известна матрица  $G \succ 0$  такая, что

$$(6) \quad f^T(t)Gf(t) \leq 1, \quad \forall t \geq 0.$$

*Определение 2. Притягивающим  $(k, n)$ -цилиндром системы (5)–(6) называется множество (4) такое, что для всех траекторий системы выполнено*

$$\limsup_{t \rightarrow +\infty} x^T(t)Qx(t) \leq 1,$$

а также, если  $x(t_0) \in (4)$ , то  $x(t) \in (4)$  при всех  $t \geq t_0$ .

Согласно определению 2, притягивающие  $(k, n)$ -цилиндры являются одновременно притягивающими и инвариантными подмножествами пространства состояний.

Сформулируем достаточное условие существования притягивающего цилиндра в пространстве состояний системы (5)–(6).

*Теорема 1.* Если матрица  $C \in \mathbb{R}^{k \times n}$  такова, что

$$\text{rank} C = k, \quad CA(I - C^+C) = 0,$$

и если существуют  $P \succ 0$  и  $\alpha > 0$  такие, что

$$\begin{bmatrix} PCAC^+ + (CAC^+)^T P + \alpha P & PCB \\ (CB)^T P & -\alpha G \end{bmatrix} \prec 0,$$

то подмножество  $\{x \in \mathbb{R}^n \mid x^T C^T P C x \leq 1\}$  пространства состояний системы (5)–(6) является притягивающим  $(k, n)$ -цилиндром.

Доказательство теоремы 1 приведено в Приложении.

*Замечание 2.* Отметим, что в частном случае, при  $C = I \in \mathbb{R}^{n \times n}$ , теорема 1 совпадает с основным результатом работы [1], и тогда притягивающий  $(k, n)$ -цилиндр является инвариантным эллипсоидом.

## 5. Синтез. Общая линейная задача слежения

### 5.1. Постановка задачи

Рассмотрим объект управления

$$(7) \quad \begin{cases} \dot{x}(t) = A_1 x(t) + B_1 u(t) + C_1 w(t), \\ y(t) = D_1 x(t) + E_1 u(t) + F_1 w(t), \end{cases}$$

где  $x(t) \in \mathbb{R}^{a_1}$  – неизмеряемый вектор состояния,  $u(t) \in \mathbb{R}^{b_1}$  – управление,  $w(t) \in \mathbb{R}^{c_1}$  – неизмеряемый вектор возмущений,  $y(t) \in \mathbb{R}^{b_2}$  – измеряемый выход,  $A_1, B_1, C_1, D_1, E_1, F_1$  – известные вещественные матрицы соответствующих размерностей.

Пусть эталонная модель задана как

$$(8) \quad \begin{cases} \dot{x}_r(t) = A_2 x_r(t) + C_2 h(t), \\ g(t) = D_2 x_r(t), \end{cases}$$

где  $x_r(t) \in \mathbb{R}^{a_2}$  – неизмеряемый вектор состояния,  $h(t) \in \mathbb{R}^{c_2}$  – неизмеряемое задающее воздействие,  $g(t) \in \mathbb{R}^{c_1}$  – измеряемый эталонный выход,  $A_2, C_2, D_2$  – известные вещественные матрицы соответствующих размерностей.

*Замечание 3.* Формально, эталонную модель можно не выделять в отдельную систему, а сделать частью уравнения (7), объединив вектор  $x(t)$  с вектором  $x_r(t)$ ,  $w(t)$  с  $h(t)$  и  $y(t)$  с  $g(t)$ . Однако в настоящей работе предлагается рассмотреть (7) и (8) как две различные модели. Такое разделение не является обязательным, но помогает лучше понять смысл целевой переменной  $z$ , раскрываемый далее.

Для достижения цели управления предполагается использование регулятора заданного динамического порядка  $a_3 \in \mathbb{N} \cup \{0\}$  вида

$$(9) \quad \begin{cases} \dot{x}_c(t) = A_3 x_c(t) + B_3 y(t) + C_3 g(t), \\ u(t) = D_3 x_c(t) + E_3 y(t) + F_3 g(t), \end{cases}$$

где  $x_c(t) \in \mathbb{R}^{a_3}$  – вектор состояния регулятора,  $A_3, B_3, C_3, D_3, E_3, F_3$  – вещественные матрицы соответствующих размерностей, подлежащие выбору.

*Замечание 4.* При  $a_3 = 0$  матрицы  $A_3, B_3, C_3, D_3$  пустые, регулятор (9) является статическим и описывается формулой  $u(t) = E_3 y(t) + F_3 g(t)$ . Поскольку современные компьютерные программы (например, МАТЛАВ) свободно работают с пустыми матрицами различных размерностей, далее не будем рассматривать этот случай отдельно, считая его частью общей теории.

Предполагается, что внешние сигналы  $w(t), h(t)$  ограничены и что известна матрица  $G \succ 0$  такая, что

$$(10) \quad \begin{bmatrix} w(t) \\ h(t) \end{bmatrix}^T G \begin{bmatrix} w(t) \\ h(t) \end{bmatrix} \leq 1, \quad \forall t \geq 0.$$

*Замечание 5.* Консервативность основного результата, который будет изложен в разделе 5.2, может быть несколько снижена путем замены (10) на пару ограничений  $w(t)^T G_1 w(t) \leq 1, h(t)^T G_2 h(t) \leq 1$ , где  $G_1, G_2 \succ 0$ , или даже на большее число ограничений, наложенных на отдельные компоненты данных векторов. Однако это приведет к увеличению числа свободных переменных и усложнению формулировок, не обязательному для настоящей статьи.

Цель управления формулируется следующим образом: при  $w(t), h(t) \equiv 0$  обеспечить асимптотическую сходимость целевой переменной

$$(11) \quad z(t) = K_1 x(t) + K_2 x_r(t) + K_3 x_c(t)$$

к нулю. Если же  $w(t), h(t) \not\equiv 0$ , но выполнено условие (10), то переменная (11) должна асимптотически сходиться к ограниченному множеству вида  $\{z \in \mathbb{R}^k \mid z^T P z \leq 1\}$  и должна быть найдена соответствующая матрица  $P \succ 0$ . Предполагается, что матрицы  $K_1 \in \mathbb{R}^{k \times a_1}, K_2 \in \mathbb{R}^{k \times a_2}, K_3 \in \mathbb{R}^{k \times a_3}$ , задающие цель управления, известны и что  $\text{rank} \begin{bmatrix} K_1 & K_2 & K_3 \end{bmatrix} = k$ . Последнее условие наложено для удобства и не является ограничительным, так как его выполнения всегда можно добиться, убрав из матрицы  $\begin{bmatrix} K_1 & K_2 & K_3 \end{bmatrix}$  линейно зависимые строки.

Сформулированная таким образом задача в рамках настоящей статьи называется *общей линейной задачей слежения*. Отметим несколько частных случаев:

1. Задача стабилизации. Если  $K_1 = I, K_2 = K_3 = 0$ , то при отсутствии внешних воздействий цель управления принимает вид  $\|x(t)\| \rightarrow 0$ . В [3] показано, что такая задача может быть решена с помощью метода инвариантных эллипсоидов.

2. Задача слежения. Если  $K_1 = I$ ,  $K_2 = -I$ ,  $K_3 = 0$ , то при отсутствии внешних воздействий цель управления имеет вид  $\|x(t) - x_r(t)\| \rightarrow 0$ , что соответствует слежению вектора состояния объекта за вектором состояния эталонной модели.

3. Задача наблюдения. Если  $K_1 = I$ ,  $K_2 = 0$ ,  $K_3 = -I$ , то регулятор (9) превращается в наблюдатель, вектор состояния которого должен сходиться к вектору состояния объекта. Если внешние воздействия отсутствуют, то такая цель управления может быть сформулирована как  $\|x_c(t) - x(t)\| \rightarrow 0$ .

Если матрицы  $K_i$  выбраны иным образом, то цель управления представляет собой некоторое сочетание задач стабилизации, слежения и наблюдения (возможно, по части переменных). Таким образом, поставленная задача синтеза может быть интерпретирована как одна из этих трех базовых задач, либо как их комбинация.

Отметим, что на матрицы  $A_1, B_1, C_1, D_1, F_1, A_2, C_2, D_2$  в (7) и (8) не накладывается никаких ограничений. Однако требуется наложить ограничение на матрицу  $E_1$ , связанное с корректностью рассматриваемой обратной связи. Рассмотрим вспомогательный измеряемый выход  $\hat{y}(t) = y(t) - E_1 u(t) = D_1 x(t) + F_1 w(t)$  системы (7), который получается из выражения для  $y(t)$ , если убрать слагаемое с  $E_1$ . Предположим, что поставленная задача может быть решена с помощью регулятора (9), в котором вместо выхода  $y(t)$  используется вспомогательный выход  $\hat{y}(t)$ . Тогда после подстановки  $\hat{y}(t) = y(t) - E_1 u(t)$  получим закон управления в виде

$$u(t) = (I + E_1 E_3)^{-1} (D_3 x_c(t) + E_3 y(t) + F_3 g(t)) = \hat{D}_3 x_c(t) + \hat{E}_3 y(t) + \hat{F}_3 g(t),$$

для реализации которого необходимо, чтобы матрица  $(I + E_1 E_3)^{-1}$  существовала. Именно это условие и накладывается дополнительно. С учетом указанного свойства при формулировке основного результата достаточно ограничиться случаем  $E_1 = 0$ , что и будет сделано, при этом соответствующий регулятор для общего случая всегда может быть восстановлен.

## 5.2. Основной результат

Введем вспомогательные обозначения для описания замкнутой системы

$$A = \begin{bmatrix} A_1 & 0 & 0 \\ 0 & A_2 & 0 \\ 0 & 0 & 0 \end{bmatrix}, \quad B = \begin{bmatrix} 0 & B_1 \\ 0 & 0 \\ I & 0 \end{bmatrix}, \quad C = \begin{bmatrix} C_1 & 0 \\ 0 & C_2 \\ 0 & 0 \end{bmatrix}, \quad D = \begin{bmatrix} 0 & 0 & I \\ D_1 & 0 & 0 \\ 0 & D_2 & 0 \end{bmatrix},$$

$$F = \begin{bmatrix} 0 & 0 \\ F_1 & 0 \\ 0 & 0 \end{bmatrix}, \quad X = \begin{bmatrix} A_3 & B_3 & C_3 \\ D_3 & E_3 & F_3 \end{bmatrix}, \quad s(t) = \begin{bmatrix} x(t) \\ x_r(t) \\ x_c(t) \end{bmatrix}, \quad f(t) = \begin{bmatrix} w(t) \\ h(t) \end{bmatrix},$$

$$M = A + BXD, \quad N = C + BXF, \quad K = [K_1 \quad K_2 \quad K_3], \quad n = a_1 + a_2 + a_3.$$

Тогда уравнение замкнутой системы (7)–(9), (11) может быть записано как

$$(12) \quad \begin{cases} \dot{s}(t) = Ms(t) + Nf(t), \\ z(t) = Ks(t), \end{cases}$$

при этом ограничение (10) примет вид

$$(13) \quad f^T(t)Gf(t) \leq 1, \quad \forall t \geq 0.$$

Перед формулировкой основного результата введем обозначения

$$(14) \quad \begin{aligned} H_1 &= KAK^+ + KB(KB)^+KA(D(K^+K - I))^+DK^+, \\ H_2 &= KC + KB(KB)^+KA(D(K^+K - I))^+F, \\ H_3 &= KB, \quad H_4 = DK^+ + D(D(K^+K - I))^+DK^+, \\ H_5 &= F + D(D(K^+K - I))^+F. \end{aligned}$$

Сформулируем основной результат в виде теоремы.

*Теорема 2. Если матрицы  $A, B, D, K$  таковы, что*

$$(15) \quad KB(KB)^+KA(D(I - K^+K))^+D(I - K^+K) = KA(I - K^+K),$$

*и если существуют  $P, Q > 0$ ,  $\mu_1, \mu_2 \in \mathbb{R}$ ,  $\alpha > 0$  такие, что  $PQ = I$  и*

$$(16) \quad \begin{aligned} \begin{bmatrix} H_1Q + QH_1^T + \alpha Q & H_2 \\ H_2^T & -\alpha G \end{bmatrix} &\prec \mu_1 \begin{bmatrix} H_3H_3^T & 0 \\ 0 & 0 \end{bmatrix}, \\ \begin{bmatrix} PH_1 + H_1^T P + \alpha P & PH_2 \\ H_2^T P & -\alpha G \end{bmatrix} &\prec \mu_2 \begin{bmatrix} H_4^T H_4 & H_4^T H_5 \\ H_5^T H_4 & H_5^T H_5 \end{bmatrix}, \end{aligned}$$

*то существует набор  $X$  параметров регулятора (9) такой, что подмножество  $\{s \in \mathbb{R}^n \mid s^T K^T P K s \leq 1\}$  пространства состояний замкнутой системы (12) является притягивающим  $(k, n)$ -цилиндром.*

*При фиксированных  $\alpha, P$  соответствующая матрица  $X$  находится как*

$$(17) \quad X = (KB)^+KA(D(K^+K - I))^+ + Y + (KB)^+KBVYD(D(K^+K - I))^+,$$

*где  $Y$  – любое решение линейного матричного неравенства*

$$(18) \quad \begin{bmatrix} PH_1 + H_1^T P + \alpha P & PH_2 \\ H_2^T P & -\alpha G \end{bmatrix} + \begin{bmatrix} PH_3YH_4 + (PH_3YH_4)^T & PH_3YH_5 \\ (PH_3YH_5)^T & 0 \end{bmatrix} \prec 0.$$

Доказательство теоремы 2 приведено в Приложении. Из доказательства, в частности, следует, что при выполнении условий теоремы матричное неравенство (18) всегда имеет решение.

Условие (15) является вполне естественным: оно показывает, как должны соотноситься между собой параметры объекта (7) и эталонной модели (8), чтобы решение соответствующей задачи слежения было возможным. Можно показать, что для задач стабилизации и наблюдения, при  $K = [I \ 0 \ 0]$  и  $K = [I \ 0 \ -I]$  соответственно, условие (15) всегда выполнено независимо от параметров объекта и эталонной модели. Если же  $K = [I \ -I \ 0]$ , что соответствует задаче слежения, то условие (15) представляется в виде

$$B_1B_1^+(A_1 - A_2)(D_1^T D_1 + D_2^T D_2)^+(D_1^T D_1 + D_2^T D_2) = (A_1 - A_2).$$

Следует отметить, что выполнение этого условия еще не означает возможность построения соответствующего регулятора, ведь помимо него должно быть также выполнено второе условие теоремы 2, связанное с неравенствами (16).

### 5.3. Вычислительные аспекты

Поскольку на матрицы  $P$  и  $Q$ , входящие в формулировку теоремы 2, наложено дополнительное ограничение  $PQ = I$ , матричные неравенства (16) не являются линейными даже при фиксированном  $\alpha$  и не могут быть непосредственно решены с помощью стандартных программных средств, таких как YALMIP или CVX. Однако существует эффективный алгоритм решения матричных неравенств именно с таким типом нелинейности, который в литературе можно встретить под названием “Cone complementarity algorithm” (алгоритм восполнения конуса) [6–9].

#### Алгоритм 1.

1. Задать  $i = 0$ . Зафиксировать параметр  $\alpha > 0$  и найти положительно определенное решение  $(\hat{P}, \hat{Q})$  системы линейных матричных неравенств (16).
2. Положить  $(R_i, S_i) = (\hat{P}, \hat{Q})$ .
3. Найти положительно определенное решение  $(\hat{P}, \hat{Q})$  задачи минимизации:

$$\text{минимизировать} \quad \text{trace}(PS_i + QR_i)$$

$$\text{при условиях} \quad \begin{bmatrix} P & I \\ I & Q \end{bmatrix} \succeq 0, \quad (16).$$

4. Если выполнено условие остановки (например, величина  $\text{trace}(\hat{P}S_i + \hat{Q}R_i)$  достаточно близка к  $2k$  или величина  $i$  достигла предельного значения), перейти к шагу 5. Иначе увеличить  $i$  на единицу и перейти к шагу 2.

5. Принять полученную пару  $(\hat{P}, \hat{Q})$  в качестве пары  $(P, Q)$ , приближенно удовлетворяющей условиям теоремы 2. Закончить.

В [6] показано, что алгоритм 1 сходится к паре  $(P, Q)$ , удовлетворяющей условиям (16) и доставляющей локальный минимум величине  $\text{trace}(PQ + QP)$ . Несмотря на то, что в общем случае выполнение условия  $PQ = I$  не гарантировано, алгоритм широко применяется [6–9] для решения задач теории управления, в которых возникают подобные матричные неравенства.

Применение теоремы 2 на практике во всей полноте предполагает выполнение следующей последовательности действий:

1. Проверить, что для поставленной задачи выполнено условие (15).
2. Применив алгоритм 1, найти взаимобратные  $P$  и  $Q$ , удовлетворяющие (16).
3. Используя найденную матрицу  $Q$ , найти матрицу  $Y$ , удовлетворяющую (18).
4. Вычислить матрицу  $X$  параметров регулятора по формуле (17).

Однако следует отметить, что нахождение пары взаимобратных матриц  $(P, Q)$  не является обязательным для синтеза регулятора. Если в процессе выполнения алгоритма 1 найдена матрица  $P$  такая, что неравенство (18) имеет решение  $Y$ , то нет необходимости далее выполнять алгоритм — можно сразу перейти к вычислению параметров регулятора по формуле (17).

## 6. Примеры

### 6.1. Задача слежения

Рассмотрим объект управления (7) с матрицами

$$A_1 = \begin{bmatrix} -2,99 & 3,10 \\ -2,10 & 2,01 \end{bmatrix}, \quad B_1 = \begin{bmatrix} 1,5 \\ 1 \end{bmatrix}, \quad C_1 = \begin{bmatrix} 0,15 \\ 0,15 \end{bmatrix}, \\ D_1 = [1 \quad -1], \quad E_1 = [0], \quad F_1 = [0]$$

и эталонную модель (8) с матрицами

$$A_2 = \begin{bmatrix} 0,01 & 0,1 \\ -0,1 & 0,01 \end{bmatrix}, \quad C_2 = [0], \quad D_2 = [1 \quad -1].$$

Заметим, что объект управления является устойчивым, а эталонная модель, напротив, неустойчива. Условие (10) предполагается выполненным при  $G = 1$ .

Пусть динамический порядок  $a_3$  регулятора (9) положен равным 1, а целевая переменная (11) задана как

$$z(t) = x(t) - x_r(t),$$

что соответствует задаче слежения и выбору матрицы

$$K = \begin{bmatrix} 1 & 0 & -1 & 0 & 0 \\ 0 & 1 & 0 & -1 & 0 \end{bmatrix}.$$

Нетрудно проверить, что в этом случае условие (15) выполнено. Тогда в результате выполнения алгоритма 1 при  $\alpha = 0,5$  может быть найдена матрица

$$P = \begin{bmatrix} 1485 & -1585 \\ -1585 & 1698 \end{bmatrix} \succ 0$$

и затем по формулам (18), (17) восстановлены параметры

$$X = \begin{bmatrix} A_3 & B_3 & C_3 \\ D_3 & E_3 & F_3 \end{bmatrix} = \begin{bmatrix} 0 & 0 & 0 \\ 0 & -2,95 & 4,95 \end{bmatrix}$$

регулятора (9), который, несмотря на заданный динамический порядок  $a_3 = 1$ , оказывается статическим.

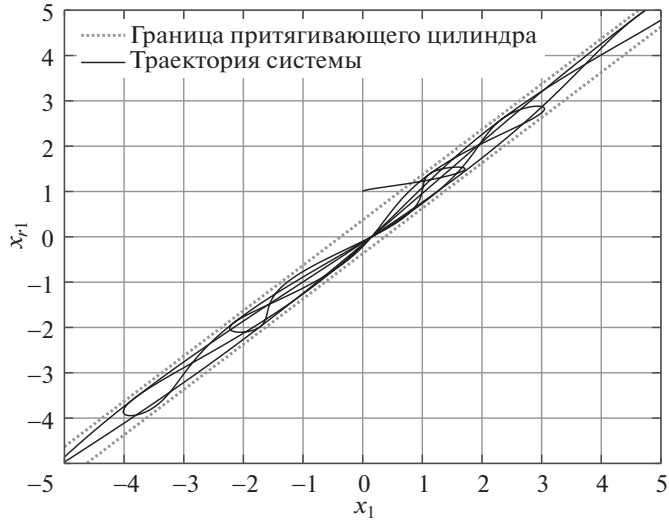


Рис. 5. Проекция притягивающего  $(k, n)$ -цилиндра и траектории замкнутой системы.

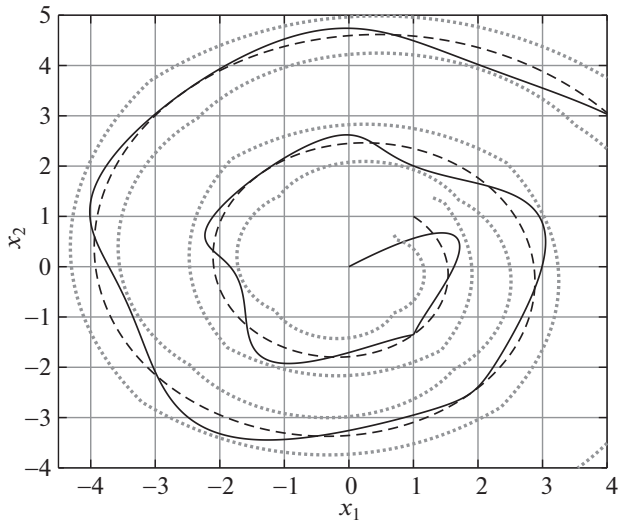


Рис. 6. Траектория объекта (—), траектория эталонной модели (--) и границы допустимого коридора (...).

При моделировании внешнее возмущение было задано как  $w(t) = \sin(0,4t)$ , а начальные условия положены равными  $x(0) = [0 \ 0]^T$  и  $x_r(0) = [1 \ 1]^T$ .

Результаты моделирования представлены на рис. 5, 6. На рис. 5 показана проекция траектории замкнутой системы: по оси абсцисс отложено значение первой координаты вектора состояния объекта, а по оси ординат — значение первой координаты вектора состояния эталонной модели. Также показаны границы полосы, являющейся проекцией притягивающего  $(k, n)$ -цилиндра на эту плоскость.

На рис. 6 показаны траектория  $x(t)$  объекта и траектория  $x_r(t)$  эталонной модели. На рисунке также отмечены границы “допустимого коридора”, имеющего следующий смысл: если в данный момент времени каждая из проекций траектории замкнутой системы – на плоскость  $(x_1, x_{r1})$  (см. рис. 5) и на плоскость  $(x_2, x_{r2})$  (не приводится, так как выглядит аналогично) – находится внутри соответствующей проекции притягивающего  $(k, n)$ -цилиндра, то траектория  $x(t)$  в данный момент времени находится в границах допустимого коридора. Иными словами, тот факт, что траектория объекта, начиная с какого-то момента, не выходит за границы точечного пунктира, является иллюстрацией того, что траектория замкнутой системы попадает внутрь  $(k, n)$ -цилиндра и не покидает его.

### 6.2. Задача наблюдения

Рассмотрим объект (7) с матрицами

$$A_1 = \begin{bmatrix} 0,168 & -0,132 & -0,052 \\ 0,148 & -0,152 & 0,028 \\ 0,204 & -0,196 & -0,006 \end{bmatrix}, \quad B_1 = \begin{bmatrix} 0 \\ 0 \\ 0 \end{bmatrix}, \quad C_1 = \begin{bmatrix} 0 \\ 0 \\ 0 \end{bmatrix},$$

$$D_1 = [-0,2 \quad 0,8 \quad -0,2], \quad E_1 = [0], \quad F_1 = [0,02].$$

Отметим, что объект является неустойчивым. В этом примере эталонная модель не рассматривается, т.е. все матрицы в (8) пустые. Условие (10) предполагается выполненным при  $G = 1$ .

Пусть динамический порядок  $a_3$  регулятора (9) положен равным 3, а целевая переменная (11) задана как

$$z(t) = x(t) - x_c(t),$$

что соответствует задаче наблюдения и выбору матрицы

$$K = \begin{bmatrix} 1 & 0 & 0 & -1 & 0 & 0 \\ 0 & 1 & 0 & 0 & -1 & 0 \\ 0 & 0 & 1 & 0 & 0 & -1 \end{bmatrix}.$$

Нетрудно проверить, что в этом случае условие (15) выполнено. Тогда в результате выполнения алгоритма 1 при  $\alpha = 0,3$  может быть найдена матрица

$$P = \begin{bmatrix} 192 & -624 & 222 \\ -624 & 2051 & -732 \\ 222 & -732 & 289 \end{bmatrix} \succ 0$$

и затем по формулам (18), (17) восстановлены параметры

$$A_3 = \begin{bmatrix} 3,970 & -15,341 & 3,750 \\ 1,506 & -5,585 & 1,386 \\ 0,559 & -1,618 & 0,349 \end{bmatrix}, \quad B_3 = \begin{bmatrix} 19,011 \\ 6,792 \\ 1,777 \end{bmatrix}$$

регулятора (9), который в этой задаче выполняет роль наблюдателя.

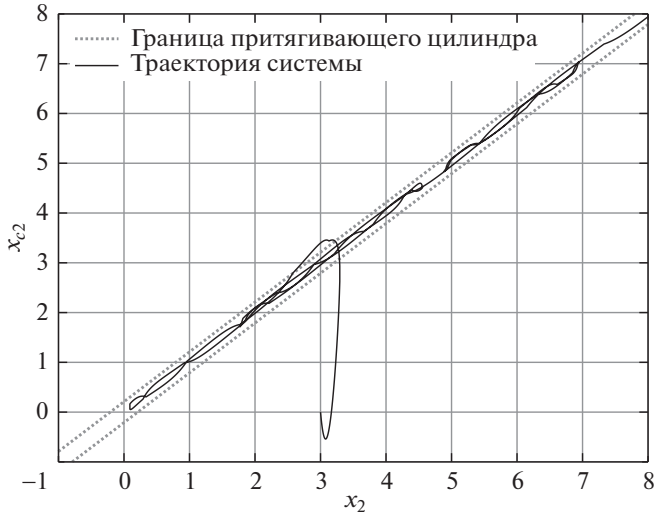


Рис. 7. Проекция притягивающего  $(k, n)$ -цилиндра и траектории замкнутой системы.

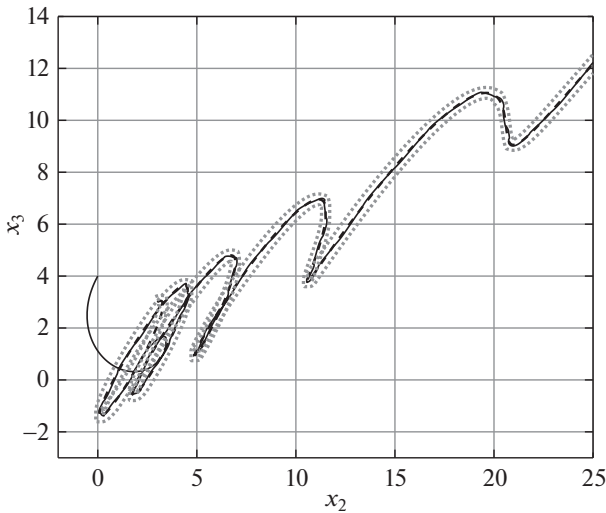


Рис. 8. Траектория объекта (—), траектория эталонной модели (---) и границы допустимого коридора (...).

Можно заметить, что для полученных матриц выполнено  $A_3 = A_1 - B_3 D_1$ , а значит, структура системы (9) совпадает со структурой наблюдателя Люенбергера

$$\dot{x}_c(t) = A_1 x_c(t) + B_3 (y(t) - D_1 x_c(t)).$$

Примечательно, что такая структура не была создана искусственно, а получилась сама собой в результате выполнения алгоритма 1.

При моделировании внешняя помеха была задана как  $w(t) = \frac{1}{2} + \frac{1}{2}\text{sgn}(\sin(0,1t))$ , а начальные условия положены равными  $x(0) = [3,2 \ 3 \ 3]^T$  и  $x_c(0) = [-10 \ 0 \ 4]^T$ .

Результаты моделирования представлены на рис. 7 и 8. На рис. 7 показана проекция траектории замкнутой системы: по оси абсцисс отложено значение второй координаты вектора состояния объекта, а по оси ординат — значение второй координаты вектора состояния регулятора (наблюдателя). Также показаны границы полосы, являющейся проекцией притягивающего  $(k, n)$ -цилиндра на эту плоскость.

На рис. 8 показаны траектория  $x(t)$  объекта и траектория  $x_c(t)$  регулятора (наблюдателя). На рисунке также отмечены границы “допустимого коридора”, имеющего следующий смысл: если в данный момент времени каждая из проекций траектории замкнутой системы — на плоскость  $(x_2, x_{c2})$  (см. рис. 7) и на плоскость  $(x_3, x_{c3})$  (не приводится, так как выглядит аналогично) — находится внутри соответствующей проекции притягивающего  $(k, n)$ -цилиндра, то траектория  $x(t)$  в данный момент времени находится в границах допустимого коридора. Иными словами, тот факт, что траектория наблюдателя начиная с какого-то момента не выходит за границы точечного пунктира, является иллюстрацией того, что траектория замкнутой системы попадает внутрь  $(k, n)$ -цилиндра и не покидает его.

## 7. Заключение

В работе предложено обобщение метода инвариантных эллипсоидов, позволяющее находить притягивающие подмножества пространства состояний более общего вида. Показано, что предложенный метод может быть использован для решения задач стабилизации, слежения и наблюдения, а также их комбинаций. Предложен алгоритм, позволяющий применять основной результат на практике с помощью стандартных программных средств. На численных примерах продемонстрирована эффективность предложенного подхода.

Автор выражает благодарность Игорю Борисовичу Фургату и анонимному рецензенту за ценные замечания, позволившие улучшить форму и содержание статьи.

## ПРИЛОЖЕНИЕ

*Доказательство утверждения 1.* Матрица  $Q$  симметричная, поэтому пространство  $\mathbb{R}^n$  можно представить как прямую сумму ее образа и ядра:

$$\mathbb{R}^n = \text{range}Q \oplus \text{ker}Q.$$

Иными словами, для любого  $x \in \mathbb{R}^n$  существует единственное разложение

$$x = x_r + x_k, \quad x_r \in \text{range}Q, \quad x_k \in \text{ker}Q.$$

Тогда  $(k, n)$ -цилиндр (4) можно представить как

$$\begin{aligned} \left\{ x \in \mathbb{R}^n \mid x^T Q x \leq 1 \right\} &= \left\{ (x_r + x_k) \in \mathbb{R}^n \mid (x_r + x_k)^T Q (x_r + x_k) \leq 1 \right\} = \\ &= \left\{ (x_r + x_k) \in \mathbb{R}^n \mid x_r^T Q x_r \leq 1 \right\} = \left\{ x_r \in \text{range}Q \mid x_r^T Q x_r \leq 1 \right\} + \text{ker}Q. \end{aligned}$$

Сужение оператора  $Q$  на подпространство  $\text{range}Q$  имеет полный ранг. Следовательно, множество  $\{x_r \in \text{range}Q \mid x_r^T Q x_r \leq 1\}$  является  $k$ -мерным эллипсоидом.

*Доказательство следствия 1.* Символом  $\cong$  обозначим гомеоморфность. Из того что  $\text{range}Q \cong \mathbb{R}^k$ ,  $\ker Q \cong \mathbb{R}^{n-k}$ , а множества  $\{x_r \in \text{range}Q \mid x_r^T Q x_r \leq 1\}$  и  $\ker Q$  ортогональны друг другу, следует, что

$$\{x_r \in \text{range}Q \mid x_r^T Q x_r \leq 1\} + \ker Q \cong \{x \in \mathbb{R}^k \mid x^T x \leq 1\} \times \mathbb{R}^{n-k}.$$

*Лемма 1* [10]. Если матрицы  $A, U, C, V$  таковы, что обе части равенства

$$(A + UCV)^{-1} = A^{-1} - A^{-1}U(C^{-1} + VA^{-1}U)^{-1}VA^{-1}$$

имеют смысл (все операции определены), то указанное равенство выполнено.

*Лемма 2* [11]. Для произвольной матрицы  $A \in \mathbb{R}^{m \times n}$  верно, что

$$\lim_{\varepsilon \rightarrow 0^+} (A^T A + \varepsilon I)^{-1} A^T = A^+.$$

Указанное равенство выполнено даже в тех случаях, когда  $(A^T A)^{-1}$  не существует.

*Доказательство утверждения 2.* Воспользуемся полнотой строчного ранга матрицы  $C$  и рассмотрим семейство матриц  $R_\varepsilon$  с параметром  $\varepsilon$ , определенных как

$$R_\varepsilon = \left( C(Q + \varepsilon I)^{-1} C^T \right)^{-1}, \quad \varepsilon > 0.$$

Известно (см. [1]), что если  $Q \succ 0$ , то  $R = (CQ^{-1}C^T)^{-1}$ . При  $Q \succeq 0$  в силу непрерывности отображения  $x \mapsto Cx$  имеем  $R = \lim_{\varepsilon \rightarrow 0^+} R_\varepsilon$ . Согласно лемме 1

$$(Q + \varepsilon I)^{-1} = (\varepsilon I + MM)^{-1} = \frac{1}{\varepsilon} I - \frac{1}{\varepsilon} M \left( I + \frac{1}{\varepsilon} MM \right)^{-1} \frac{1}{\varepsilon} M.$$

Тогда

$$R_\varepsilon = \left( C(Q + \varepsilon I)^{-1} C^T \right)^{-1} = \left( \frac{1}{\varepsilon} CC^T - \frac{1}{\varepsilon} CM \left( I + \frac{1}{\varepsilon} MM \right)^{-1} \frac{1}{\varepsilon} MC^T \right)^{-1}.$$

Заметим, что матрица  $CC^T$  обратима. Вновь применяя лемму 1, получаем

$$R_\varepsilon = \varepsilon(CC^T)^{-1} + \\ + (CC^T)^{-1} CM \left( I + \frac{1}{\varepsilon} M \left( I - C^T (CC^T)^{-1} C \right) M \right)^{-1} MC^T (CC^T)^{-1}.$$

Воспользуемся известными равенствами

$$C^T(CC^T)^{-1} = C^+, \quad I - C^T(CC^T)^{-1}C = N = N^2$$

и перепишем  $R_\varepsilon$  в виде

$$R_\varepsilon = \varepsilon(CC^T)^{-1} + C^{+T}M \left( I + \frac{1}{\varepsilon}MNNM \right)^{-1} MC^+.$$

Применяя лемму 1, получаем

$$R_\varepsilon = \varepsilon(CC^T)^{-1} + C^{+T}M \left( I - MN(\varepsilon I + NMMN)^{-1}NM \right) MC^+.$$

Тогда согласно лемме 2, учитывая, что  $M = M^T$ ,  $N = N^T$ , имеем

$$R = \lim_{\varepsilon \rightarrow 0^+} R_\varepsilon = C^{+T}M \left( I - MN(MN)^+ \right) MC^+.$$

Наконец заметим, что  $I - MN(MN)^+ \succeq 0$  и, следовательно,  $R \succeq 0$ .

*Доказательство следствия 2.* Если  $C$  – проекция на  $\mathbb{R}^2$ , то  $m = 2$ ,  $r \leq 2$ . Значит, образом  $(k, n)$ -цилиндра может быть только  $(0, 2)$ ,  $(1, 2)$  или  $(2, 2)$ -цилиндр.

*Лемма 3* [12]. Если  $A \in \mathbb{R}^{n \times m}$ ,  $B \in \mathbb{R}^{k \times l}$ ,  $C \in \mathbb{R}^{n \times l}$ , то матричное уравнение

$$AXB = C$$

разрешимо относительно  $X \in \mathbb{R}^{m \times k}$  тогда и только тогда, когда

$$AA^+CB^+B = C,$$

и в этом случае все решения можно параметризовать как

$$X = A^+CB^+ + Y - A^+AYBB^+,$$

где  $Y \in \mathbb{R}^{m \times k}$  – произвольная матрица.

*Лемма 4* [13]. Если  $A \in \mathbb{S}^n$ ,  $B \in \mathbb{R}^{m \times n}$  и  $A^2 = A$ , то  $A(BA)^+ = (BA)^+$ .

*Лемма 5* [14]. Если  $A \in \mathbb{R}^{n \times m}$ ,  $B \in \mathbb{R}^{k \times n}$ ,  $C \in \mathbb{S}^n$ , то матричное неравенство

$$AXB + (AXB)^T + C \prec 0$$

разрешимо относительно  $X \in \mathbb{R}^{m \times k}$  в том и только в том случае, если существуют  $\mu_1, \mu_2 \in \mathbb{R}$  такие, что

$$C \prec \mu_1 AA^T, \quad C \prec \mu_2 B^T B.$$

*Доказательство теоремы 1.* Введем переменную  $y(t) = Cx(t) \in \mathbb{R}^k$ , составим уравнение ее динамики

$$\dot{y}(t) = CAx(t) + CBf(t)$$

и найдем условие, при котором оно может быть записано независимо от  $x(t)$ , т.е. условие существования матрицы  $X$  такой, что

$$\dot{y}(t) = XCx(t) + CBf(t) = Xy(t) + CBf(t).$$

Для этого рассмотрим уравнение  $CA = XC$ . В соответствии с леммой 3 оно разрешимо относительно  $X$  в том и только в том случае, если выполнено условие  $CA(I - C^+C) = 0$ , и тогда все решения могут быть параметризованы как  $X = CAC^+ + Y(I - CC^+)$ , где  $Y$  – произвольная матрица соответствующей размерности. Если дополнительно выполнено условие  $\text{rank}C = k$ , то уравнение имеет единственное решение  $X = CAC^+$ .

Так как все соответствующие условия включены в формулировку теоремы, динамика переменной  $y(t)$  может быть записана независимо от  $x(t)$  в виде

$$(П.1) \quad \dot{y}(t) = CAC^+y(t) + CBf(t).$$

Обозначим:  $V = y^T P y$ . Заметим, что из матричного неравенства

$$\begin{bmatrix} PCAC^+ + (CAC^+)^T P + \alpha P & PCB \\ (CB)^T P & -\alpha G \end{bmatrix} \prec 0$$

следует, что

$$\begin{bmatrix} y(t) \\ f(t) \end{bmatrix}^T \begin{bmatrix} PCAC^+ + (CAC^+)^T P + \alpha P & PCB \\ (CB)^T P & -\alpha G \end{bmatrix} \begin{bmatrix} y(t) \\ f(t) \end{bmatrix} \leq 0, \quad \forall t \geq 0,$$

и тогда

$$\dot{V}(t) + \alpha V(t) \leq \alpha f^T(t) G f(t), \quad \forall t \geq 0.$$

При выполнении условия (6) из этого следует, что

$$\limsup_{t \rightarrow +\infty} V(t) \leq 1$$

и если  $V(t_0) \leq 1$ , то  $V(t) \leq 1$  при всех  $t \geq t_0$ . При этом  $V = x^T C^T P C x$ ,  $C^T P C \succeq 0$  и  $\text{rank}C^T P C = k$ , а значит, подмножество

$$\left\{ x \in \mathbb{R}^n \mid x^T Q x \leq 1 \right\}, \quad Q = C^T P C$$

пространства состояний системы (5)–(6) является притягивающим  $(k, n)$ -цилиндром.

*Доказательство теоремы 2.* В соответствии с теоремой 1 подмножество  $\{s \in \mathbb{R}^n \mid s^T K^T P K s \leq 1\}$  системы (12) является притягивающим  $(k, n)$ -цилиндром, если выполнены условия

$$(II.2) \quad KM(I - K^+K) = 0,$$

$$(II.3) \quad \begin{bmatrix} PKMK^+ + (KMK^+)^T P + \alpha P & PKN \\ (KN)^T P & -\alpha G \end{bmatrix} \prec 0.$$

Для существования регулятора (9) такого, чтобы для замкнутой системы (12) выполнялось условие (II.2), необходимо и достаточно, чтобы уравнение

$$K(A + BXD)(I - K^+K) = 0 \quad \Leftrightarrow \quad KBXD(I - K^+K) = -KA(I - K^+K)$$

было разрешимо относительно  $X$ . В соответствии с леммой 3 это так в том и только в том случае, если выполнено

$$(II.4) \quad \begin{aligned} KB(KB)^+KA(I - K^+K)(D(I - K^+K))^+D(I - K^+K) = \\ = KA(I - K^+K), \end{aligned}$$

причем все соответствующие матрицы  $X$  могут быть параметризованы как

$$(II.5) \quad \begin{aligned} X = (KB)^+KA(K^+K - I)(D(I - K^+K))^+ + \\ + Y - (KB)^+KBYD(I - K^+K)(D(I - K^+K))^+, \end{aligned}$$

где  $Y$  – произвольная матрица соответствующей размерности. Согласно лемме 4 (II.4) и (II.5) равносильны (15) и (17) соответственно.

С учетом выражений  $M = A + BXD$ ,  $N = C + BXF$  условие (II.3) может быть переписано в виде

$$\begin{aligned} & \begin{bmatrix} PKAK^+ + (KAK^+)^T P + \alpha P & PKC \\ (KC)^T P & -\alpha G \end{bmatrix} + \\ & + \begin{bmatrix} PKB \\ 0 \end{bmatrix} X [DK^+ \quad F] + \left( \begin{bmatrix} PKB \\ 0 \end{bmatrix} X [DK^+ \quad F] \right)^T \prec 0 \end{aligned}$$

и после подстановки (17) и применения обозначений (14) представлено как

$$(II.6) \quad \begin{aligned} & \begin{bmatrix} PH_1 + H_1^T P + \alpha P & PH_2 \\ H_2^T P & -\alpha G \end{bmatrix} + \begin{bmatrix} PH_3 \\ 0 \end{bmatrix} Y [H_4 \quad H_5] + \\ & + \left( \begin{bmatrix} PH_3 \\ 0 \end{bmatrix} Y [H_4 \quad H_5] \right)^T \prec 0. \end{aligned}$$

Согласно лемме 5 соответствующая матрица  $Y$  – а значит, и набор  $X$  параметров регулятора (9) – существует в том и только в том случае, если найдутся  $\mu_1, \mu_2 \in \mathbb{R}$ , при которых выполнены матричные неравенства

$$(II.7) \quad \begin{bmatrix} PH_1 + H_1^T P + \alpha P & PH_2 \\ H_2^T P & -\alpha G \end{bmatrix} \prec \mu_1 \begin{bmatrix} PH_3 H_3^T P & 0 \\ 0 & 0 \end{bmatrix},$$

$$(II.8) \quad \begin{bmatrix} PH_1 + H_1^T P + \alpha P & PH_2 \\ H_2^T P & -\alpha G \end{bmatrix} \prec \mu_2 \begin{bmatrix} H_4^T H_4 & H_4^T H_5 \\ H_5^T H_4 & H_5^T H_5 \end{bmatrix}.$$

Заметим, что если матрица  $Q$  такова, что  $PQ = I$ , то (II.7) равносильно

$$(II.9) \quad \begin{bmatrix} H_1 Q + Q H_1^T + \alpha Q & H_2 \\ H_2^T & -\alpha G \end{bmatrix} \prec \mu_1 \begin{bmatrix} H_3 H_3^T & 0 \\ 0 & 0 \end{bmatrix},$$

чтобы увидеть это, достаточно умножить (II.7) слева и справа на  $\begin{bmatrix} Q & 0 \\ 0 & I \end{bmatrix} \succ 0$ .

Для завершения доказательства осталось заметить, что (II.8), (II.9) совпадают с (16), (II.6) равносильно (18) и что при фиксированных  $\alpha, P$  матричное неравенство (18) является линейным.

### СПИСОК ЛИТЕРАТУРЫ

1. Назин С.А., Поляк Б.Т., Топунов М.В. Подавление ограниченных внешних возмущений с помощью метода инвариантных эллипсоидов // *АиТ*. 2007. № 3. С. 106–125.  
*Nazin S.A., Polyak B.T., Topunov M.V.* Rejection of Bounded Exogenous Disturbances by the Method of Invariant Ellipsoids // *Autom. Remote Control*. 2007. V. 68. No. 3. P. 467–486.
2. Поляк Б.Т., Топунов М.В. Подавление ограниченных внешних возмущений: управление по выходу // *АиТ*. 2008. № 5. С. 72–90.  
*Polyak B.T., Topunov M.V.* Suppression of Bounded Exogenous Disturbances: Output Feedback // *Autom. Remote Control*. 2008. V. 69. No. 5. P. 801–818.
3. Хлебников М.В. Подавление ограниченных внешних возмущений: линейный динамический регулятор по выходу // *АиТ*. 2011. № 4. С. 27–42.  
*Khlebnikov M.V.* Suppression of Bounded Exogenous Disturbances: A Linear Dynamic Output Controller // *Autom. Remote Control*. 2011. V. 72. No. 4. P. 699–712.
4. Железнов К.О., Хлебников М.В. Применение метода инвариантных эллипсоидов для решения линейной задачи слежения // *Тр. МФТИ*. 2013. Т. 5. № 4. С. 115–121.
5. Железнов К.О., Квинто Я.И., Хлебников М.В. Решение задачи слежения для линейной системы управления на основе метода инвариантных эллипсоидов // *УБС*. 2018. № 71. С. 45–60.
6. *El Ghaoui L., Oustry F., AitRami M.* A Cone Complementarity Linearization Algorithm for Static Output-Feedback and Related Problems // *IEEE Trans. Autom. Control*. 1997. V. 42. No. 1. P. 1171–1176.
7. *Briat C.* Linear Parameter-Varying and Time-Delay Systems: Analysis, Observation, Filtering and Control. Springer, 2015.
8. *Arzelier D., Henrion D., Peaucelle D.* Robust State-Feedback  $\mathcal{D}$ -stabilization via a Cone Complementarity Algorithm // 6th European Control Conference. Portugal. 2001.
9. *Song X., Zhou S., Zhang B.* A Cone Complementarity Linearization Approach to Robust  $\mathcal{H}_\infty$ -controller Design for Continuous-Time Piecewise Linear Systems with Linear Fractional Uncertainties // *Nonlinear Analysis: Hybrid Systems*. 2008. V. 2. No. 4. P. 1264–1274.

10. *Henderson H. V., Searle S. R.* On Deriving the Inverse of a Sum of Matrices // SIAM Rev. 1981. V. 23. No. 1. P. 53–60.
11. *Gene G. H., Van Loan C. F.* Matrix Computations. Johns Hopkins University Press, 1996.
12. *Skelton R.E., Iwasaki T., Grigoriadis K.M.* A Unified Algebraic Approach to Linear Control Design / Nonlinear Analysis. London: Taylor & Francis, Ltd, 1998.
13. *Maciejewski A.A., Klein C.A.* Obstacle Avoidance for Kinematically Redundant Manipulators in Dynamically Varying Environments // Int. J. Robot. Res. 1985. V. 4. No. 3. P. 109–117.
14. *Boyd S., El Ghaoui L., Feron E., Balakrishnan V.* Linear Matrix Inequalities in System and Control Theory. Philadelphia: SIAM, 1994.

*Статья представлена к публикации членом редколлегии М.В. Хлебниковым.*

Поступила в редакцию 02.04.2020

После доработки 15.07.2020

Принята к публикации 10.09.2020